



УДК 577.217.5:577.152.611

А. Е. Малина, Є. В. Нестеренко, А. І. Драган,  
член-кореспондент НАН України О. І. Корнелюк

## Взаємодія протипухлинного цитокіну ЕМАР II з гамма-циклодекстрином

*Досліджено взаємодію протипухлинного цитокіну ЕМАР II з гамма-циклодекстрином ( $\gamma$ -ЦД). Проведено аналіз експонованості ароматичних амінокислотних залишків у структурі рекомбінантного цитокіну ЕМАР II. Встановлено, що  $\gamma$ -ЦД специфічно зв'язується з ЕМАР II, і найбільш вірогідним сайтом зв'язування є частково експонований залишок Trp128, локалізований в заглибині на поверхні ЕМАР II поряд з функціонально важливим лизинбагатим кластером.*

**Ключові слова:** ЕМАР II, гамма-циклодекстрин, флуоресценція, комплексоутворення.

Успіхи в галузі біотехнології дозволили розпочати великомасштабне виробництво терапевтично важливих пептидів і білків, які можна використовувати в лікуванні онкологічних захворювань.

Неправильний фолдинг і агрегація білків супроводжуються утворенням нерозчинних внутрішньоклітинних структур, що призводять до пошкодження і загибелі клітин. Індукувати агрегацію білків у клітинах можуть різні процеси, і насамперед це тепловий та окиснювальний стреси. *In vitro* нативні білки можуть бути розгорнуті в результаті теплової денатурації, а також під дією денатуруючих агентів, таких як гуанідин гідрохлорид або сечовина. Розгорнуті білки можуть взаємодіяти між собою, в основному за допомогою контактів гідрофобних поверхонь, з утворенням амілоїдних або аморфних агрегатів [1–3]. У зв'язку з цим дослідження механізму агрегації білків і механізмів пригнічення агрегації агентами природного і штучного походження є одним із актуальних напрямів сучасної біології. Циклодекстрини (олігоцукри) здатні підвищувати стабільність до агрегації білкового компонента препаратів.

ЕМАР II — ендотеліальний моноцитаактивуєчий поліпептид II, попередником якого є білок АІМР1/р43 — компонент високомолекулярного комплексу аміноацил-тРНК-синтезавищих еукаріот. Відомо, що цей пептид здатен модулювати низку властивостей ендотеліальних клітин, моноцитів і лейкоцитів *in vitro* [4, 5]. Також досліджено гальмування росту

© А. Е. Малина, Є. В. Нестеренко, А. І. Драган, О. І. Корнелюк, 2015

ксенографтів раку простати людини, імплантованих під капсулу нирки мишей при обробці їх препаратом ЕМАР II [6, 7]. Здатність ЕМАР II інгібувати неоангіогенез та стимулювати апоптоз ракових клітин є основою для дослідження питання про те, чи може цей білок бути використаний як протипухлинний лікарський препарат.

Ми ставили за мету дослідження взаємодії протипухлинного цитокіну ЕМАР II з  $\gamma$ -циклодекстрином з можливістю подальшого використання отриманих комплексів для створення лікарської форми препарату.

**Матеріали і методи.** Для експресії рекомбінантного білка ЕМАР II було використано штам-продуцент, ориманий на основі реципієнта *Escherichia coli* BL21(DE3)pLysE. Штам клітин трансформовано плазмідним вектором рЕТ-30а-ЕМАР II, у якого під контролем промотору фага Т7 міститься ген цільового білка ЕМАР II.

Експресію рекомбінантного білка ЕМАР II проводили на поживному середовищі LB з додаванням канаміцину до кінцевої концентрації 30 мкг/мл. Індукцію експресії ЕМАР II з промотору *lacUV5* здійснювали шляхом додавання до культурального середовища ізопропіл- $\beta$ -тіоґалактопіранозиду (ІПТГ) до кінцевої концентрації 1,25 мМ [8]. Концентрацію очищеного білка визначали на спектрофотометрі з урахуванням коефіцієнта молярної екстинкції, який становить  $8730 \text{ cm}^{-1} \cdot \text{M}^{-1}$  (коефіцієнт визначали за даними амінокислотного складу білка з використанням програми ProtParam (<http://web.expasy.org/protparam/>)).

Розчин трипептиду гліцин-триптофан-гліцин ("Serva") готували в аналогічному буфері, в якому був розчинений білок: 50 мМ Na-фосфат, 150 мМ NaCl з рН 7,5. Концентрацію трипептиду визначали на спектрофотометрі з урахуванням коефіцієнта молярної екстинкції, який становить  $5690 \text{ cm}^{-1} \cdot \text{M}^{-1}$ .

Гамма-циклодекстрин ( $\gamma$ -ЦД) має вісім глюкопіранозних залишків, молекулярну масу 1297,14 Да, зовнішній та внутрішній діаметр 16,9 і 8,4 Å відповідно. Також  $\gamma$ -ЦД характеризується високим ступенем розчинності у воді при кімнатній температурі (23,2 г/100 мл). Для дослідження взаємодії рекомбінантного білка ЕМАР II та  $\gamma$ -ЦД проводили титрування в буфері, який містив 50 мМ Na-фосфат, 150 мМ NaCl з рН 7,5.

**Методика флуоресцентних вимірювань.** Спектри флуоресценції реєстрували на спектрофлуориметрі Hitachi M850 (Японія), який був обладнаний термостатованим кюветотримачем. Вимірювання проводили у кварцовій кюветі з довжиною оптичного шляху 0,5 см. Спектральна ширина щілин для монохроматорів збуджуючого світла і реєструючої системи становила 5–10 нм. Довжина хвилі збудження дорівнювала 280 нм, інтервал довжин хвиль для спектрів флуоресценції становив 300–400 нм, реєстрацію флуоресценції проводили під кутом  $90^\circ$  до напрямку пучка збуджуючого світла при  $25 \pm 0,2^\circ \text{C}$ .

Молекулярний докінг виконували за допомогою онлайн сервісу HexServer ([hexserver.loria.fr/](http://hexserver.loria.fr/)). Результати візуалізували за допомогою програми PyMol. Аналіз експонованості амінокислотних залишків здійснювали за допомогою онлайн сервісу GetArea (<http://curie.utmb.edu/getarea.html>). Координатний файл ЕМАР II (id: 1E7Z) було завантажено з інтернет-ресурсу [www.rcsb.org](http://www.rcsb.org).

**Результати та їх обговорення.** З літературних джерел відомо, що всі циклодекстрини в першу чергу зв'язуються з ароматичними амінокислотними залишками, тому було проведено модельне дослідження взаємодії трипептиду гліцин-триптофан-гліцин з  $\gamma$ -ЦД. Як видно з рис. 1, під час титрування трипептиду розчином  $\gamma$ -ЦД інтенсивність флуоресценції трипептиду зростає, що може свідчити про міцне зв'язування ліганду з гліцин-триптофан-гліцином. Про це також свідчить константа зв'язування, яка становить  $22,59 \pm 6,17 \text{ мМ}$ . Стехіометрія зв'язування ліганду 1 : 1.

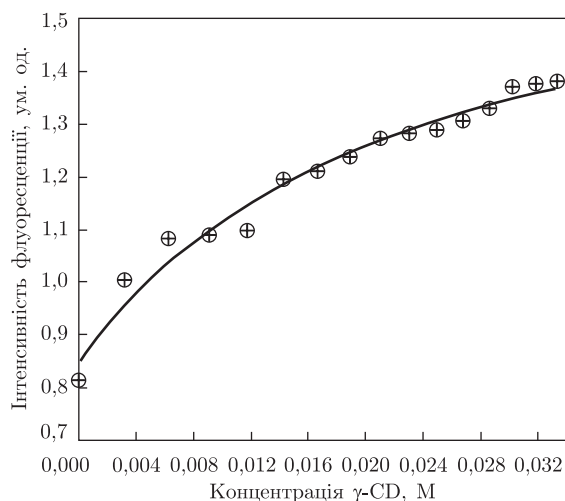


Рис. 1. Залежність інтенсивності флуоресценції трипептиду гліцин-триптофан-гліцин від концентрації  $\gamma$ -ЦД у розчині. Буфер 50 мМ Na-фосфат, 150 мМ NaCl з рН 7,5, температура 25 °С, довжина хвилі збудження 280 нм, довжина хвилі емісії 355 нм

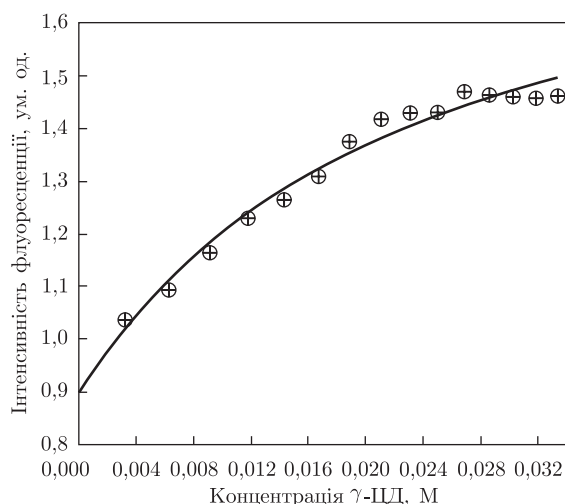


Рис. 2. Залежність інтенсивності флуоресценції протиухлиного цитокіну ЕМАР ІІ від концентрації  $\gamma$ -ЦД у розчині. Буфер 50 мМ Na-фосфат, 150 мМ NaCl з рН 7,5, температура 25 °С, довжина хвилі збудження 280 нм, довжина хвилі емісії 334 нм

Під час взаємодії протиухлиного цитокіну ЕМАР ІІ з  $\gamma$ -ЦД інтенсивність флуоресценції ЕМАР ІІ зростає в 1,6 раза (рис. 2), що вказує на міцне зв'язування, а константа зв'язування ліганду з ЕМАР ІІ становить  $23,02 \pm 4,52$  мМ.

Проведено аналіз експонованості ароматичних амінокислотних залишків у структурі рекомбінантного цитокіну ЕМАР ІІ. Відомо, що ЕМАР ІІ має у своєму складі шість ароматичних амінокислот: Tyr32, Phe110, Phe113, Trp128, Tyr145 і Phe150. Найбільш експонованим на 18,6% є залишок Trp128, який знаходиться в заглибині активного центру протеїну.

Для дослідження взаємодії  $\gamma$ -ЦД з ароматичними амінокислотами було проведено молекулярний докінг трипептиду гліцин-триптофан-гліцин з  $\gamma$ -ЦД за допомогою онлайн сервісу

HexServer. Встановлено, що взаємодія трипептиду з  $\gamma$ -ЦД відбувається між триптофановим залишком та внутрішньою гідрофобною порожниною ліганду. За результатами молекулярного докінгу визначено, як саме відбувається взаємодія ароматичної амінокислоти в складі трипептиду з  $\gamma$ -ЦД.

Таким чином, встановлено, що  $\gamma$ -ЦД специфічно зв'язується з ЕМАР II, причому найбільш вірогідним сайтом зв'язування є частково експонований залишок Trp128, локалізований у заглибині на поверхні ЕМАР II поряд з функціонально важливим лізинбагатим кластером.

## Цитована література

1. *Абелян В. А.* Циклодекстрины: получение и применение. – Ереван: ИД “Ван – Арьян”, 2001. – 519 с.
2. *Saenger W.* Cyclodextrin Inclusion Compounds in Research and Industry // *Angew. Chem. Int. Ed. Engl.* – 1980. – **19**. – P. 344–362.
3. *Fink A. L.* Protein aggregation: folding aggregates, inclusion bodies and amyloid // *Fold. Des.* – 1998. – **3**. – P. R9–R23.
4. *Kao J., Rayan J., Brett G., Chen J., Shen H., Fan Y., Godman G., Familetti P. C., Wang F., Pan Y. E., Stern D., Clauss M.* Endothelial monocyte-activating polypeptide II. A novel tumor-derived polypeptide that activates host-response mechanisms // *J. Biol. Chem.* – 1992. – **267**. – P. 20239–20247.
5. *Tas M. P., Murray J. C.* Endothelial monocyte-activating polypeptide II // *Int. J. Biochem. Cell. Biol.* – 1996. – **28**. – P. 837–841.
6. *Reznikov A. G., Chaykovskaya L. V., Polyakova L. I., Kornelyuk A. I.* Antitumor effect of endothelial monocyte-activating polypeptide-II on human prostate adenocarcinoma in mouse xenograft model // *Exp. Oncol.* – 2007. – **29**, No 4. – P. 267–271.
7. *Возианов А. Ф., Резников А. Г., Корнелюк А. И., Романенко А. М., Чайковская Л. В., Полякова Л. И., Григоренко В. Н.* Влияние препаратов рекомбинантного белка ЕМАР II на рост, гистологические и гистохимические характеристики гетеротрансплантатов рака простаты человека // *Журн. АМН України.* – 2008. – **14**, № 4. – С. 719–729.
8. *Бабенко Л. А., Скоробогатов О. Ю., Дубровський О. Л., Корнелюк О. І.* Оптимізація бактеріальної експресії протиракового цитокіна ЕМАР II в клітинах *Escherichia coli BL21(DE3)pLysE* // *Мікробіологія і біотехнологія.* – 2010. – № 3. – С. 21–31.

## References

1. *Abelyan V. A.* Cyclodextrins: preparation and use, Erevan: “Van–Aryan”, 2001 (in Russian).
2. *Saenger W.* *Angew. Chem. Int. Ed. Engl.*, 1980, **19**: 344 – 362.
3. *Fink A. L.* *Fold. Des.*, 1998, **3**: R9–R23.
4. *Kao J., Rayan J., Brett G., Chen J., Shen H., Fan Y., Godman G., Familetti P. C., Wang F., Pan Y. E., Stern D., Clauss M.* *J. Biol. Chem.*, 1992, **267**: 20239–20247.
5. *Tas M. P., Murray J. C.* *Int. J. Biochem. Cell. Biol.*, 1996, **28**: 837–841.
6. *Reznikov A. G., Chaykovskaya L. V., Polyakova L. I., Kornelyuk A. I.* *Exp. Oncol.*, 2007, **29**, No 4: 267–271.
7. *Vozianov A., Reznikov A., Kornelyuk A., Romanenko A., Kornelyuk A., Polyakova L., Grigorenko V.* *J. AMN Ukraine*, 2008, **14**, No 4: 719–729 (in Russian).
8. *Babenko L., Skorobogatov J., Dubrovskiy O., Kornelyuk O.* *Microbiology and Biotechnology*, 2010, No 3: 21–31 (in Ukrainian).

**А. Э. Малина, Е. В. Нестеренко, А. И. Драган,**  
член-корреспондент НАН Украины **А. И. Корнелюк**

## **Взаимодействие противоопухолевого цитокина ЕМАР II с гамма-циклодекстрином**

Институт молекулярной биологии и генетики НАН Украины, Киев

*Исследовано взаимодействие противоопухолевого цитокина ЕМАР II с гамма-циклодекстрином ( $\gamma$ -ЦД). Проведен анализ экспонированности ароматических аминокислотных остатков в структуре рекомбинантного цитокина ЕМАР II. Установлено, что  $\gamma$ -ЦД специфически связывается с ЕМАР II, причем наиболее вероятным сайтом связывания является частично экспонированный остаток Trp128, локализованный в углублении на поверхности ЕМАР II наряду с функционально важным лизинбогатым кластером.*

**Ключевые слова:** ЕМАР II, гамма-циклодекстрин, флуоресценция, комплексообразование.

**A. E. Malyna, E. V. Nesterenko, A. I. Dragan,**  
Corresponding Member of the NAS of Ukraine **O. I. Kornelyuk**

## **Interaction of antitumor cytokine EMAP II with gamma-cyclodextrin**

Institute of Molecular Biology and Genetics of the NAS of Ukraine, Kiev

*The interaction of antitumor cytokine EMAP II with gamma-cyclodextrin ( $\gamma$ -CD) is investigated. The exposure of aromatic amino acid residues in the structure of the recombinant cytokine EMAP II has analyzed. It is found that  $\gamma$ -CD binds specifically with EMAP II, the most likely binding site being partially exposed residue Trp128 localized in a recess on the surface of EMAP II along with the functionally important lysine-rich cluster.*

**Keywords:** EMAP II, gamma-cyclodextrin, fluorescence, complex binding.